

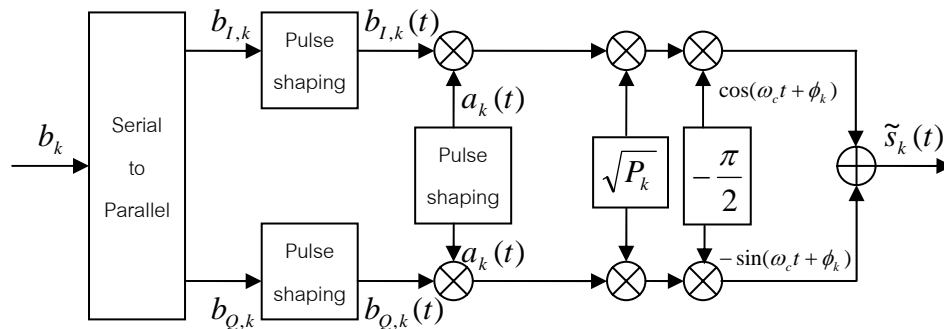
บทที่ 3

การหาสมรรถนะของระบบดีเอส-คิวพีเอสเคซีดีเอ็มเอใน ช่องสัญญาณการจางหายแบบนาคาгами

ในบทนี้เราจะแสดงการทำงานของระบบดีเอส-คิวพีเอสเคซีดีเอ็มเอ (Direct Sequence-QPSK CDMA) ที่อัตราการรับ-ส่งข้อมูลแตกต่างกันออกไป โดยจะแสดงหลักการทำงานเป็นส่วนๆ แต่ละส่วนแสดงขั้นตอนการทำงานของระบบโดยจะอธิบายออกมาในรูปของสมการทางคณิตศาสตร์ และจะนำความสัมพันธ์ที่ได้มาวิเคราะห์หาสมรรถนะของระบบในบทต่อไป

3.1 หลักการทำงานของระบบดีเอส-คิวพีเอสเคซีดีเอ็มเอ

3.1.1 เครื่องส่ง (Transmitter)



รูปที่ 3.1 วงจรภาคส่งของดีเอส-คิวพีเอสเค

จากรูปที่ 3.1 แสดงให้เห็นการทำงานของเครื่องส่งของระบบ โดยกำหนดให้มีผู้ใช้งานในระบบเท่ากับ K และกำหนดให้ข้อมูลกับรหัสการแผ่สเปกตรัมเป็นเลขฐานสอง หลักการทำงานของระบบ คือจะทำการกระจายลำดับข้อมูล (Data Sequence, $\{b_k\}$) ที่มีความเร็วสูงให้เป็นชุดข้อมูลที่มีความเร็วต่ำลง จากอนุกรมให้เป็นขนานเพื่อส่งไปในแต่ละส่วนของอินเฟส (in-phase) และควอดเรอเจอร์ (quadrature) หลังจากนั้นจะทำการคูณกันระหว่างลำดับข้อมูลกับลำดับรหัส (Code Sequence, $\{a_k\}$) แล้วทำการมอดูเลตเชิงเลขทางเฟสฐานสองแบบร่วมนัย (Binary Phase Shift Keying) ดังนั้นสัญญาณที่ถูกส่งออกไปของผู้ใช้งานลำดับที่ k $\{\tilde{s}_k(t)\}$ สามารถแสดงได้ดังนี้ [5]

$$\tilde{s}_k(t) = \text{Re}\left\{\sqrt{P}b_{I,k}(t)a_k(t) + j\sqrt{P}b_{Q,k}(t)a_k(t)\right\}e^{j(\omega_c t + \phi_k)} \quad (3.1)$$

$$\tilde{s}_k(t) = \text{Re}\left\{s_k(t)e^{j\omega_c t}\right\} \quad (3.2)$$

เมื่อ $s_k(t)$ คือ สัญญาณส่งที่แสดงอยู่ในรูปจำนวนเชิงซ้อนกำหนดนิยามได้ดังนี้

$$s_k(t) = \left(\sqrt{P}b_{I,k}(t)a_k(t) + j\sqrt{P}b_{Q,k}(t)a_k(t)\right)e^{j\phi_k} \quad (3.3)$$

โดยที่ $\sqrt{p_k}$ คือ กำลังงานส่งเฉลี่ยที่มีค่าเท่ากันสำหรับผู้ใช้งานทุกคน

ϕ_k คือ มุมเฟสของคลื่นพาห้สำหรับผู้ใช้งานที่ k

$b_{k,I}(t)$ และ $b_{k,Q}(t)$ คือ สัญญาณข้อมูลในส่วนอินเฟสและควอเดรเจอร์ตามลำดับ นิยามความสัมพันธ์ได้ดังนี้

$$b_{I,k}(t) = \sum_{i=-\infty}^{+\infty} b_{I,k}^{(i)} p_{T_b}(t - iT_b) \quad (3.4)$$

และ

$$b_{Q,k}(t) = \sum_{i=-\infty}^{+\infty} b_{Q,k}^{(i)} p_{T_b}(t - iT_b) \quad (3.5)$$

เมื่อ $b_{k,I}^{(i)}$ และ $b_{k,Q}^{(i)} \in \{\pm 1\}$ คือ บิตลำดับที่ i ของผู้ใช้งานที่ k ในส่วนอินเฟส และควอเดรเจอร์ตามลำดับ, $p_{T_b}(t)$ คือ พัลส์สี่เหลี่ยมที่มีความสูง 1 หน่วย สามารถนิยามได้ดังนี้

$$p_{T_b} = \begin{cases} 1 & \text{if } 0 \leq t < T_b, T_c \\ 0 & \text{t มีค่าอื่นๆ} \end{cases} \quad (3.6)$$

เมื่อ T_b คือ ระยะห่างระหว่างบิต และจากสมการที่ 3.3 พจน์ $a_k(t)$ คือ สัญญาณการแผ่ (Spreading Waveform) สามารถแสดงนิยามได้ดังนี้

$$a_k(t) = \sum_{j=-\infty}^{+\infty} a_k^{(j)} p_{T_c}(t - jT_c) \quad (3.7)$$

เมื่อ $a_k^{(j)} \in \{\pm 1\}$ คือ บิตชิปลำดับที่ j ของผู้ใช้งานที่ k , $p_{T_c}(t)$ พัลส์สี่เหลี่ยมที่มีความสูง 1 หน่วย สามารถแสดงนิยามได้ดังนี้

$$p_{T_c} = \begin{cases} 1 & \text{if } 0 \leq t < T_b, T_c \\ 0 & \text{t มีค่าอื่นๆ} \end{cases} \quad (3.8)$$

ดังนั้นค่าอัตราขยายการประมวลผลของระบบ (Processing Gain) จึงมีค่าเท่ากับ

$$N = \frac{T_b}{T_c} \quad (3.9)$$

3.1.2 แบบจำลองช่องสัญญาณ (Multipath Channel)

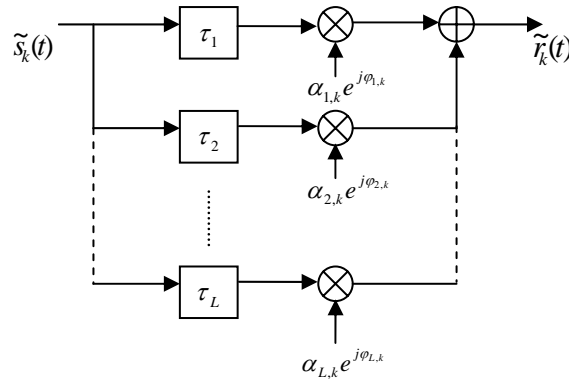
ช่องสัญญาณของระบบการสื่อสารไร้สายที่ทำการพิจารณา สัญญาณคลื่นที่เดินทางจะเกิดการจางหายซึ่งมีสาเหตุจากการสะท้อน หรือการหักเหของคลื่น ดังนั้นที่เครื่องรับจะรับสัญญาณที่มีความแตกต่างทางเวลา และขนาดภายในช่องสัญญาณกรองต่ำซึ่งสอดคล้องกับผลตอบสนองอิมพัลส์ (Impulse Response) ของช่องสัญญาณการจางหายในหลายวิถีสามารถแสดงได้ตามสมการดังนี้

$$\tilde{h}(t, \tau) = \text{Re}\{h(t, \tau)e^{j\omega_c t}\} \quad (3.10)$$

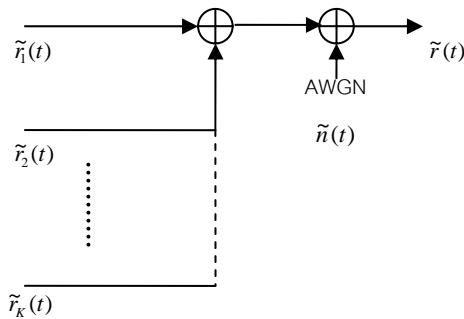
เมื่อ τ คือ เวลาที่ถูกหน่วง, ω_c คือ ความถี่ของคลื่นพาห์ และ $h(t, \tau)$ คือ สัญญาณอิมพัลส์ที่แสดงในรูปจำนวนเชิงซ้อน และมีความสัมพันธ์สำหรับผู้ใช้งานที่ k แสดงได้ตามสมการ

$$h_k(t, \tau) = \sum_{l=1}^L \alpha_{l,k} e^{j\varphi_{l,k}} \delta(t - \tau_{l,k}) \quad (3.11)$$

| | | |
|--------|-----------------|---|
| โดยที่ | L | คือ จำนวนเส้นทางของสัญญาณที่เดินทางในช่องสัญญาณผ่านมาถึงด้านรับ |
| | $\alpha_{k,l}$ | คือ อัตราการลดทอนของขนาด |
| | $\tau_{k,l}$ | คือ เวลาที่ถูกหน่วง |
| | $\varphi_{k,l}$ | คือ มุมเฟสที่มีการหน่วงเวลา |
| | $\delta(\cdot)$ | คือ ฟังก์ชันเดลต้า (Delta function) |



รูปที่ 3.2 เส้นทางเดินของช่องสัญญาณในจำนวน L เส้นทาง



รูปที่ 3.3 สัญญาณที่รับได้ของจำนวนผู้ใช้งาน K ราย

จากรูปที่ 3.2 แสดงให้เห็นจำนวนเส้นทางเดินของช่องสัญญาณถูกกำหนดให้มีค่าเท่ากับ L และในแต่ละเส้นทางจะมีการหน่วงทางเวลาและการจางหายที่แตกต่างกัน และรูปที่ 3.3 จะแสดงให้เห็นสัญญาณที่รับได้ที่เครื่องรับ สัญญาณที่รับ $\tilde{r}(t)$ นั้นมาจากผลรวมของสัญญาณของผู้ใช้งานทุกรายรวมกันกับสัญญาณรบกวนเกาส์ขาวแบบบวก (Additive White Gaussian Noise) ดังนั้นสัญญาณที่รับได้สามารถแสดงได้ตามความสัมพันธ์ดังนี้ [14]

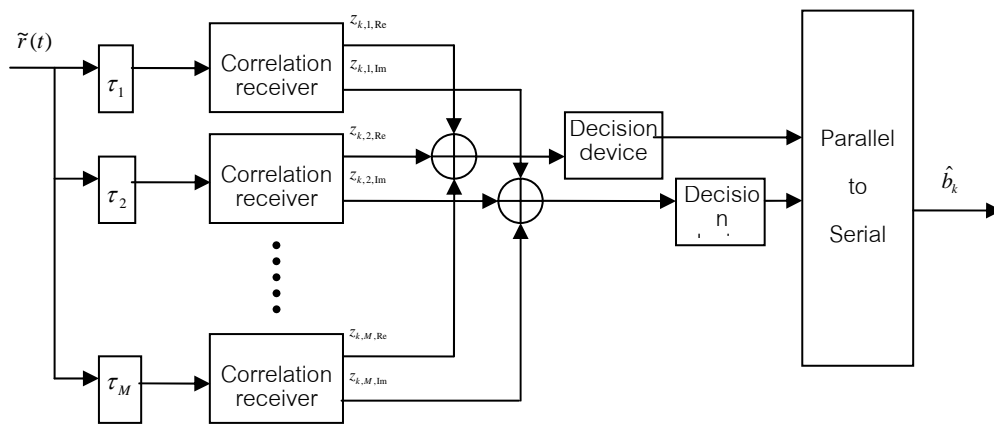
$$r(t) = n(t) + \frac{1}{2} \sum_{k=1}^K s_k(t) * h(t) \tag{3.12}$$

เมื่อ (*) คือ สัญลักษณ์การคอนโวลูชัน และ $n(t)$ คือ สัญญาณรบกวนเกาส์ขาวแบบบวกที่แสดงอยู่ในรูปของจำนวนเชิงซ้อน ซึ่งมีค่าความหนาแน่นสเปกตรัมกำลังงานของสัญญาณเท่ากับ $\frac{N_0}{2}$ ดังนั้นสัญญาณรบกวนที่อยู่ในรูปแถบผ่าน คือ

$$\tilde{n}(t) = \text{Re}\{n(t)e^{j\omega_c t}\} \tag{3.13}$$

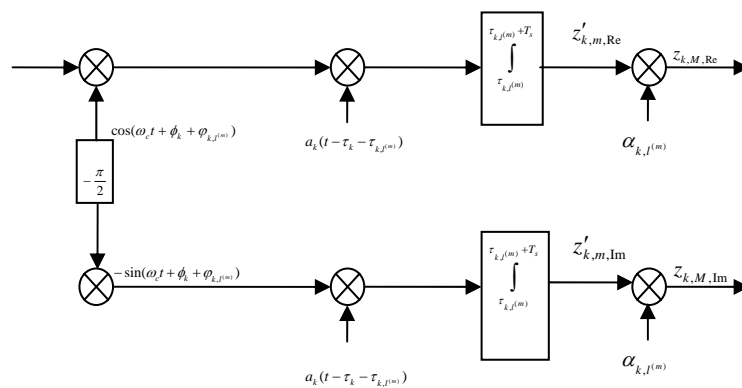
3.1.3 เครื่องรับ (Receiver)

การทำงานทางด้านเครื่องรับสัญญาณแบบเรค และให้ผู้ใช้งานคนที่ 1 เป็นผู้ใช้งานอ้างอิง โดยที่กำหนดให้เครื่องรับเรคมีจำนวน M สาขา แต่ละสาขาของเครื่องรับจะประกอบด้วยอุปกรณ์การดีโมดูเลตที่แสดงไว้ในรูปที่ 3.4 กำลังงานของสัญญาณเอาท์พุตในเครื่องรับเรคสามารถใช้เทคนิคการรวมอัตราส่วนสูงสุด (Maximal Ratio Combining ; MRC) หรือการรวมกันแบบอัตราขยายเท่ากัน (Equal Gain Combining ; EGC) อย่างใดอย่างหนึ่ง ในการวิจัยนี้จะใช้เทคนิคการรวมอัตราส่วนสูงสุด จากรูปที่ 3.5 พจน์ $\alpha_{k,j^{(m)}}$ เรียกว่าน้ำหนักจุดแยกทำหน้าที่เป็นตัวชดเชยขนาดของสัญญาณที่อยู่ในรูปจำนวนผันเชิงซ้อน (complex conjugate)



รูปที่ 3.4 เครื่องรับสัญญาณแบบเรค จำนวน M สาขา

จากรูปที่ 3.5 พจน์ $\alpha_{k,j^{(m)}}$ คือน้ำหนักจุดแยกซึ่งเป็นตัวชดเชยขนาดของสัญญาณที่อยู่ในรูปจำนวนผันเชิงซ้อน (complex conjugate) สัญญาณที่รับได้จะกำหนดให้เป็นสัญญาณแบบร่วมนัยและจะถูกแยกออกเป็น 2 ส่วน ประกอบด้วยส่วนอินเฟส และส่วนควอเดรเอเจอร์ ด้วยวิธีการคูณสัญญาณคลื่นพาทซ์ คือ



รูปที่ 3.5 ตัวรับแบบสหสัมพันธ์ของเครื่องรับเรค

$\cos(\omega_c t + \phi_k + \varphi_{k,l^{(m)}})$ และ $-\sin(\omega_c t + \phi_k + \varphi_{k,l^{(m)}})$ ตามลำดับ เมื่อสัญญาณผ่านการดีโมดูเลตแล้วนำสัญญาณมูลฐานมาทำการคิสปเรคตสเปกตรัมด้วย $a_k(t - \tau_k - \tau_{k,l^{(m)}})$ สุดท้ายเมื่อสัญญาณผ่านแมตซ์ฟิลเตอร์ ที่มีกรหน่วงเวลาแล้วจะถูกชดเชยขนาดสัญญาณด้วยน้ำหนักจุดแยก ($\alpha_{k,l^{(m)}}$) ส่วนสุดท้ายที่เครื่องรับเรค คืออุปกรณ์เปรียบเทียบบิต (Decision device) จะทำหน้าที่ประมาณค่าบิตข้อมูลที่ผ่านการดีโมดูเลตเทียบกับข้อมูลเริ่มต้น และสุดท้ายจะนำบิตข้อมูลในส่วนของอินเฟส และควอเดรเอเจอร์ มารวมกันเป็นลำดับข้อมูล

ดังนั้นสัญญาณที่รับได้กรณีอะซิงโครนัส (uplink) ของผู้ใช้งานหลายๆ คนที่ส่งมาจากเครื่องส่งสามารถแสดงได้ดังสมการ

$$r_a(t) = n(t) + \sum_{k=1}^K \sum_{l=1}^L \alpha_{k,l} s_k(t - \tau_k - \tau_{k,l}) e^{j\varphi_{k,l}} \quad (3.14)$$

และกรณีซิงโครนัส (downlink) สัญญาณที่รับได้สามารถแสดงได้ตามสมการ

$$r_s(t) = n(t) + \sum_{k=1}^K \sum_{l=1}^L \alpha_l s_k(t - \tau_l) e^{j\varphi_l} \quad (3.15)$$

ในระบบโทรศัพท์ซีดีเอ็มเอเป็นการสื่อสารข้อมูลแบบ 2 ทางขาขึ้น (uplink) และขาลง (downlink) จะถูกแบ่งออกจากกันอย่างชัดเจนโดยใช้เทคนิคความถี่ที่ต่างกันในการส่ง (Frequency Division Duplex ; FDD) หรือใช้ช่องเวลาที่ต่างกันในการส่ง (Time Division Duplex ; TDD) จากสมการที่ 3.14 ค่า τ_k คือ สัญญาณที่ถูกหน่วงของผู้ใช้งานที่ k ที่มีความสัมพันธ์กับเส้นทางของสัญญาณที่ l นำเอาสมการที่ 3.3 มาแทนในสมการ 3.14 เขียนใหม่ได้เป็น

$$r_a(t) = n(t) + \sum_{k=1}^K \sum_{l=1}^L \alpha_{k,l} \left\{ \sqrt{p_k} b_{k,I}(t - \tau_k - \tau_{k,l}) a_k(t - \tau_k - \tau_{k,l}) + j \sqrt{p_k} b_{k,Q}(t - \tau_k - \tau_{k,l}) a_k(t - \tau_k - \tau_{k,l}) \right\} e^{j\theta_{k,l}} \quad (3.16)$$

เมื่อ $\theta_{k,l}$ คือ เฟสซีฟของผู้ใช้ที่ k บนเส้นทางลำดับที่ l ของเครื่องรับ และมีค่าเท่ากับ $\phi_k + \varphi_{k,l}$ ดังนั้นสามารถเขียนสัญญาณที่รับได้ที่แสดงอยู่ในรูปทั่วไปได้ดังนี้

$$\tilde{r}_a(t) = \text{Re} \left\{ r_a(t) e^{j\omega_c t} \right\} \quad (3.17)$$

จากสมการที่ 3.16 สามารถแทนความสัมพันธ์ในส่วนอินเฟส และควอเดรเอเจอร์ได้เป็น

$$I_{n,k,l} = \sqrt{p_k} b_{k,I}(t - \tau_k - \tau_{k,l}) a_k(t - \tau_k - \tau_{k,l}) \quad (3.18)$$

$$Q_{n,k,l} = \sqrt{p_k} b_{k,Q}(t - \tau_k - \tau_{k,l}) a_k(t - \tau_k - \tau_{k,l}) \quad (3.19)$$

นำสมการ 3.18 และ 3.19 แทนลงในสมการ 3.17

$$\begin{aligned}
\tilde{r}_a(t) &= \operatorname{Re} \left\{ n(t)e^{j\omega_c t} + \sum_{k=1}^K \sum_{l=1}^L \alpha_{k,l} (In_{k,l} + jQu_{k,l}) e^{j(\omega_c t + \theta_{k,l})} \right\} \\
&= \operatorname{Re} [n(t)e^{j\omega_c t} + \sum_{k=1}^K \sum_{l=1}^L \alpha_{k,l} \{ (In_{k,l} \cos(\omega_c t + \theta_{k,l}) - Qu_{k,l} \sin(\omega_c t + \theta_{k,l})) \\
&\quad + j(In_{k,l} \sin(\omega_c t + \theta_{k,l}) + Qu_{k,l} \cos(\omega_c t + \theta_{k,l})) \}] \\
&= \tilde{n}(t) + \sum_{k=1}^K \sum_{l=1}^L \alpha_{k,l} \{ In_{k,l} \cos(\omega_c t + \theta_{k,l}) - Qu_{k,l} \sin(\omega_c t + \theta_{k,l}) \} \quad (3.20)
\end{aligned}$$

สาขาที่ m ของเครื่องรับจะจับสัญญาณที่แรงที่สุดของสัญญาณที่เดินทางมาถึง ดังนั้น $z'_{k,m}$ ของตัวรับสหสัมพันธ์ที่สาขา m สามารถแสดงได้ตามสมการ

$$\begin{aligned}
z'_{k,m,\operatorname{Re}} &= \int_{\tau_{k,l(m)}}^{\tau_{k,l(m)}+T_s} \tilde{r}_a(t) \{ \cos(\omega_c t + \theta_{k,l(m)}) a_k(t - \tau_k - \tau_{k,l(m)}) \} dt \\
&= \int_{\tau_{k,l(m)}}^{\tau_{k,l(m)}+T_s} [\{ \tilde{n}(t) + \sum_{k'=1}^K \sum_{l'=1}^L \alpha_{k',l'} (In_{k',l'} \cos(\omega_c t + \theta_{k',l'}) - Qu_{k',l'} \sin(\omega_c t + \theta_{k',l'})) \} \\
&\quad \times \{ \cos(\omega_c t + \theta_{k,l(m)}) a_k(t - \tau_k - \tau_{k,l(m)}) \}] dt \quad (3.21)
\end{aligned}$$

และ

$$\begin{aligned}
z'_{k,m,\operatorname{Im}} &= \int_{\tau_{k,l(m)}}^{\tau_{k,l(m)}+T_s} \tilde{r}_a(t) \{ -\sin(\omega_c t + \theta_{k,l(m)}) a_k(t - \tau_k - \tau_{k,l(m)}) \} dt \\
&= \int_{\tau_{k,l(m)}}^{\tau_{k,l(m)}+T_s} [\{ \tilde{n}(t) + \sum_{k'=1}^K \sum_{l'=1}^L \alpha_{k',l'} (In_{k',l'} \cos(\omega_c t + \theta_{k',l'}) - Qu_{k',l'} \sin(\omega_c t + \theta_{k',l'})) \} \\
&\quad \times \{ -\sin(\omega_c t + \theta_{k,l(m)}) a_k(t - \tau_k - \tau_{k,l(m)}) \}] dt \quad (3.22)
\end{aligned}$$

โดยที่ T_s คือ ช่วงเวลาสัญลักษณ์ของการถูกโมดูเลตแบบคิวิพีเอสเค

k' คือ ลำดับการใช้งานของผู้ใช้ (1,2,3,...,K)

K คือ จำนวนผู้ใช้งานทั้งหมด

จากสมการ 3.21 และ 3.22 พิจารณาในส่วนของการอินทิเกรตจะประกอบด้วยสัญญาณ 4 ส่วน คือสัญญาณของผู้ใช้งานจริง, สัญญาณรบกวนเกาส์ขาวแบบบวค, สัญญาณแทรกสอดระหว่างสัญลักษณ์ และสัญญาณแทรกสอดที่เกิดขึ้นระหว่างผู้ใช้งาน เพราะฉะนั้นสามารถจัดรูปสมการ 3.21 และ 3.22 ได้ใหม่ดังนี้

$$z'_{k,m,\text{Re}} = A_I + \xi_I + \sum_{\substack{l=1 \\ l \neq l^{(m)}}}^L I_{k,l,\text{Re}} + \sum_{\substack{k'=1 \\ k' \neq k}}^K \sum_{l=1}^L I_{k',l,\text{Re}} \quad (3.23)$$

และ

$$z'_{k,m,\text{Im}} = A_Q + \xi_Q + \sum_{\substack{l=1 \\ l \neq l^{(m)}}}^L I_{k,l,\text{Im}} + \sum_{\substack{k'=1 \\ k' \neq k}}^K \sum_{l=1}^L I_{k',l,\text{Im}} \quad (3.24)$$

จากรูปที่ 3.4 ตัวรับสหสัมพันธ์จำนวน M ตัวที่อยู่ในเครื่องรับจะทำการรวมสัญญาณที่ผ่านการชดเชยขนาดด้วยน้ำหนักจุดแยก ซึ่งจะทำให้ขนาดของสัญญาณที่รับได้มีค่าใกล้เคียงกับสัญญาณส่ง ดังนั้นเอาท์พุตสามารถแสดงเป็นความสัมพันธ์ได้ตามสมการ

$$z_{k,\text{Re}} = \sum_{m=1}^M \alpha_{k,m} z'_{k,m,\text{Re}} \quad ; \text{อินเฟส} \quad (3.25)$$

และ

$$z_{k,\text{Im}} = \sum_{m=1}^M \alpha_{k,m} z'_{k,m,\text{Im}} \quad ; \text{ควอดเรอเจอร์} \quad (3.26)$$

ส่วนสุดท้ายของด้านรับจะเป็นการเปรียบเทียบค่าบิตที่เป็นเอาท์พุตของ $z_{k,\text{Re}}$ และ $z_{k,\text{Im}}$ โดยมีกฎเกณฑ์ดังนี้

$$\hat{b}_{k,I}^i = \begin{cases} 1 & \text{if } z_{k,\text{Re}} \geq 0 \\ -1 & \text{if } z_{k,\text{Re}} < 0 \end{cases} \quad (3.27)$$

และ

$$\hat{b}_{k,Q}^i = \begin{cases} 1 & \text{if } z_{k,\text{Im}} \geq 0 \\ -1 & \text{if } z_{k,\text{Im}} < 0 \end{cases} \quad (3.28)$$

โดยที่ $\hat{b}_{k,I}^i$ และ $\hat{b}_{k,Q}^i$ คือลำดับบิตที่ i ของผู้ใช้งานที่ k ในส่วนอินเฟส และควอดเรอเจอร์ตามลำดับ แล้วนำลำดับข้อมูลทั้งสองส่วนมารวมกันตามที่แสดงในรูปที่ 3.4

จากสมการ 3.23 และ 3.24 พจน์ ξ_I และ ξ_Q คือสัญญาณรบกวนเกาส์ขาวแบบบวกของ $\tilde{n}(t)$ ที่ผ่านตัวรับแบบสหสัมพันธ์ในส่วนของอินเฟส และควอดเรอเจอร์ตามลำดับ ที่มีค่ากลางเท่ากับ 0 แสดงความสัมพันธ์ได้ตามสมการ 3.21 และ 3.22 ดังนี้

$$\xi_I = \int_{\tau_{k,l^{(m)}}}^{\tau_{k,l^{(m)}} + T_s} \tilde{n}(t) \left\{ \cos(\omega_c t + \theta_{k,l^{(m)}}) a_k(t - \tau_k - \tau_{k,l^{(m)}}) \right\} dt \quad (3.29)$$

และ

$$\xi_Q = \int_{\tau_{k,l(m)}}^{\tau_{k,l(m)}+T_s} \tilde{n}(t) \left\{ -\sin(\omega_c t + \theta_{k,l(m)}) a_k(t - \tau_k - \tau_{k,l(m)}) \right\} dt \quad (3.30)$$

เช่นกันในพจน์ของ A_I และ A_Q คือ สัญญาณของผู้ใช้งานจริงในระบบในส่วนของอินเฟส และควอเดรเอเจอร์ แสดงแสดงความสัมพันธ์ได้ตามสมการ 3.21 และ 3.22 ดังนี้

$$A_I = \sum_{m=1}^M \int_{\tau_{k,l(m)}}^{\tau_{k,l(m)}+T_s} \sqrt{p_k} \alpha_{k,l(m)} \left[\{ b_{k,I}(t - \tau_k - \tau_{k,l(m)}) \cos(\omega_c t + \theta_{k,l(m)}) - b_{k,Q}(t - \tau_k - \tau_{k,l(m)}) \cdot \sin(\omega_c t + \theta_{k,l(m)}) \} a_k(t - \tau_k - \tau_{k,l(m)}) \cos(\omega_c t + \theta_{k,l(m)}) a_k(t - \tau_k - \tau_{k,l(m)}) \right] dt \quad (3.31)$$

และ

$$A_Q = \sum_{m=1}^M \int_{\tau_{k,l(m)}}^{\tau_{k,l(m)}+T_s} \sqrt{p_k} \alpha_{k,l(m)} \left[\{ b_{k,I}(t - \tau_k - \tau_{k,l(m)}) \cos(\omega_c t + \theta_{k,l(m)}) - b_{k,Q}(t - \tau_k - \tau_{k,l(m)}) \cdot \sin(\omega_c t + \theta_{k,l(m)}) \} a_k(t - \tau_k - \tau_{k,l(m)}) (-1) \sin(\omega_c t + \theta_{k,l(m)}) a_k(t - \tau_k - \tau_{k,l(m)}) \right] dt \quad (3.32)$$

เมื่อ $b_{k,I}(t - \tau_k - \tau_{k,l(m)})$ เท่ากับ $b_{k,I}^i$ โดยที่ i คือลำดับบิตของบิตข้อมูลในส่วนอินเฟส และ $b_{k,Q}(t - \tau_k - \tau_{k,l(m)})$ เท่ากับ $b_{k,Q}^i$ โดยที่ i คือลำดับบิตของบิตข้อมูลในส่วนควอเดรเอเจอร์ เมื่อสัญญาณมาถึงเครื่องรับเรดเสี้ยนทางที่ผ่านช่องสัญญาณจะสัมพันธ์กับสาขาของเครื่องรับเรด นั่นคือ $l = m$ แทนค่าทั้งสามลงในสมการ 3.31 และ 3.32 ดังนั้น A_I และ A_Q จึงมีค่าเท่ากับ

$$\begin{aligned} A_I &= \sqrt{p_k} \sum_{m=1}^M \alpha_{k,l(m)} \int_{\tau_{k,l(m)}}^{\tau_{k,l(m)}+T_s} \left[\{ b_{k,I}^i \cos^2(\omega_c t + \theta_{k,l(m)}) - b_{k,Q}^i \sin(\omega_c t + \theta_{k,l(m)}) \cos(\omega_c t + \theta_{k,l(m)}) \} \right] dt \\ &= \sqrt{p_k} \sum_{m=1}^M \alpha_{k,l(m)} \left[\int_{\tau_{k,l(m)}}^{\tau_{k,l(m)}+T_s} b_{k,I}^i \left(\frac{(1 + \cos 2(\omega_c t + \theta_{k,l(m)}))}{2} \right) dt \right. \\ &\quad \left. - \int_{\tau_{k,l(m)}}^{\tau_{k,l(m)}+T_s} b_{k,Q}^i \sin(\omega_c t + \theta_{k,l(m)}) \cos(\omega_c t + \theta_{k,l(m)}) dt \right] \\ &= \frac{1}{2} \sqrt{p_k} \alpha_{k,l(m)} b_{k,I}^i T_s \end{aligned} \quad (3.33)$$

และ

$$\begin{aligned} A_Q &= \sqrt{p_k} \alpha_{k,l(m)} \int_{\tau_{k,l(m)}}^{\tau_{k,l(m)}+T_s} \{ -b_{k,I}^i \cos(\omega_c t + \theta_{k,l(m)}) \sin(\omega_c t + \theta_{k,l(m)}) + b_{k,Q}^i \sin^2(\omega_c t + \theta_{k,l(m)}) \} dt \\ &= \sqrt{p_k} \alpha_{k,l(m)} \left[\int_{\tau_{k,l(m)}}^{\tau_{k,l(m)}+T_s} -b_{k,I}^i \cos(\omega_c t + \theta_{k,l(m)}) \sin(\omega_c t + \theta_{k,l(m)}) dt \right. \end{aligned}$$

$$\begin{aligned}
& + \int_{\tau_{k,l^{(m)}}}^{\tau_{k,l^{(m)}}+T_s} b_{k,I}^Q \left(\frac{(1 - \cos 2(\omega_c t + \theta_{k,l^{(m)}}))}{2} \right) dt \Big] \\
& = \frac{1}{2} \sqrt{p_k} \alpha_{k,l^{(m)}} b_{k,Q}^i T_s
\end{aligned} \tag{3.34}$$

ในส่วนของสัญญาณแทรกสอดระหว่างผู้ใช้งาน คือพจน์ $I_{k',l,\text{Re}}$ และ $I_{k',l,\text{Im}}$ ที่เกิดจากทางเดินวิถีที่ l ของผู้ใช้ที่ k ($l^{(m)} \neq l$ และ $k' = k$) ในส่วนอินเฟส และควอดเรอเจอร์ตามลำดับสามารถแสดงแสดงแสดงความสัมพันธ์ได้ตามสมการ 3.21 และ 3.22 ดังนี้

$$\begin{aligned}
I_{k',l,\text{Re}} & = \int_{\tau_{k,l^{(m)}}}^{\tau_{k,l^{(m)}}+T_s} \sqrt{p_{k'}} \alpha_{k',l} [\{b_{k',I}^i(t - \tau_{k'} - \tau_{k',l}) \cos(\omega_c t + \theta_{k',l}) - b_{k',Q}^i(t - \tau_{k'} - \tau_{k',l}) \\
& \quad \cdot \sin(\omega_c t + \theta_{k',l})\} a_{k'}(t - \tau_{k'} - \tau_{k',l}) \cos(\omega_c t + \theta_{k,l^{(m)}}) a_k(t - \tau_k - \tau_{k,l^{(m)}})] dt \\
& = \frac{1}{2} \sqrt{p_{k'}} \alpha_{k',l} \left[\begin{aligned}
& \left\{ \cos(\theta_{k',l} - \theta_{k,l^{(m)}}) \cdot \int_{\tau_{k,l^{(m)}}}^{\tau_{k,l^{(m)}}+T_s} b_{k',I}^i \cdot a_{k'}(t - \tau_{k'} - \tau_{k',l}) a_k(t - \tau_k - \tau_{k,l^{(m)}}) dt \right\} \\
& - \left\{ \sin(\theta_{k',l} - \theta_{k,l^{(m)}}) \cdot \int_{\tau_{k,l^{(m)}}}^{\tau_{k,l^{(m)}}+T_s} b_{k',Q}^i \cdot a_{k'}(t - \tau_{k'} - \tau_{k',l}) a_k(t - \tau_k - \tau_{k,l^{(m)}}) dt \right\} \end{aligned} \right] \tag{3.35}
\end{aligned}$$

จากสมการที่ 3.35 ในพจน์ของการอินทิเกรต $\int_{\tau_{k,l^{(m)}}}^{\tau_{k,l^{(m)}}+T_s} a_{k'}(t - \tau_{k',l}) a_k(t - \tau_{k,l^{(m)}}) dt$ คือ

ค่าอัตโนมัติสัมพันธ์ (Auto correlation) [7]

$$R_{k',l}(\tau_{k',l}) = \int_0^{\tau} a_{k'}(t - \tau_{k',l}) a_1(t - \tau_{k,l^{(m)}}) dt \tag{3.36}$$

และ

$$\hat{R}_{k',l}(\tau_{k',l}) = \int_{\tau}^{T_s} a_{k'}(t - \tau_{k',l}) a_1(t - \tau_{k,l^{(m)}}) dt \tag{3.37}$$

ดังนั้นสามารถจัดรูปสมการ 3.35 ได้ใหม่เป็น

$$\begin{aligned}
I_{k',l,\text{Re}} & = \frac{1}{2} \sqrt{p_{k'}} \alpha_{k',l} [\cos(\theta_{k',l} - \theta_{k,l^{(m)}}) \{b_{k',I}^{-1} R_{k',l}(\tau_{k',l}) + b_{k',I}^0 \hat{R}_{k',l}(\tau_{k',l})\} \\
& \quad - \{\sin(\theta_{k',l} - \theta_{k,l^{(m)}}) \{b_{k',Q}^{-1} R_{k',l}(\tau_{k',l}) + b_{k',Q}^0 \hat{R}_{k',l}(\tau_{k',l})\}\}] \tag{3.38}
\end{aligned}$$

และส่วนควอดเรอเจอร์ เท่ากับ

$$\begin{aligned}
I_{k',l,\text{Im}} &= \int_{\tau_{k,l}^{(m)}}^{\tau_{k,l}^{(m)}+T_s} \sqrt{p_{k'}} \alpha_{k',l} [\{b_{k',l}(t - \tau_{k'} - \tau_{k',l}) \cos(\omega_c t + \theta_{k',l}) - b_{k',Q}(t - \tau_{k'} - \tau_{k',l}) \\
&\quad \cdot \sin(\omega_c t + \theta_{k',l})\} a_k(t - \tau_{k'} - \tau_{k',l}) (-1) \sin(\omega_c t + \theta_{k,l}^{(m)}) a_k(t - \tau_k - \tau_{k,l}^{(m)})] dt \\
&= \frac{1}{2} \sqrt{p_{k'}} \alpha_{k',l} [(-1) \sin(\theta_{k',l} - \theta_{k,l}^{(m)}) \{b_{k',l}^{-1} R_{k',l}(\tau_{k',l}) + b_{k',l}^0 \hat{R}_{k',l}(\tau_{k',l})\} \\
&\quad + \{\cos(\theta_{k',l} - \theta_{k,l}^{(m)}) \{b_{k',Q}^{-1} R_{k',l}(\tau_{k',l}) + b_{k',Q}^0 \hat{R}_{k',l}(\tau_{k',l})\} \\
\end{aligned} \tag{3.39}$$

สัญญาณแทรกสอดที่เกิดขึ้นระหว่างสัญญาณ $I_{k,l,\text{Re}}$ และ $I_{k,l,\text{Im}}$ สามารถแสดงได้ตามสมการในส่วนอินเฟส ดังนี้เมื่อ $k' \neq k$

$$\begin{aligned}
I_{k,l,\text{Re}} &= \int_{\tau_{k,l}^{(m)}}^{\tau_{k,l}^{(m)}+T_s} \sqrt{p_k} \alpha_{k,l} [\{b_{k,l}(t - \tau_k - \tau_{k,l}) \cos(\omega_c t + \theta_{k,l}) - b_{k,Q}(t - \tau_k - \tau_{k,l}) \\
&\quad \cdot \sin(\omega_c t + \theta_{k,l})\} a_k(t - \tau_k - \tau_{k,l}) \cos(\omega_c t + \theta_{k,l}^{(m)}) a_k(t - \tau_k - \tau_{k,l}^{(m)})] dt \\
&= \frac{1}{2} \sqrt{p_k} \alpha_{k,l} [\cos(\theta_{k,l} - \theta_{k,l}^{(m)}) \{b_{1,l}^{-1} R_{1,l}(\tau_{k,l}) + b_{1,l}^0 \hat{R}_{1,l}(\tau_{k,l})\} \\
&\quad - \{\sin(\theta_{k,l} - \theta_{k,l}^{(m)}) \{b_{1,Q}^{-1} R_{1,l}(\tau_{k,l}) + b_{1,Q}^0 \hat{R}_{1,l}(\tau_{k,l})\} \\
\end{aligned} \tag{3.40}$$

และในส่วนควอเดรเจอร์

$$\begin{aligned}
I_{k,l,\text{Im}} &= \int_{\tau_{k,l}^{(m)}}^{\tau_{k,l}^{(m)}+T_s} \sqrt{p_k} \alpha_{k,l} [\{b_{k,l}(t - \tau_k - \tau_{k,l}) \cos(\omega_c t + \theta_{k,l}) - b_{k,Q}(t - \tau_k - \tau_{k,l}) \\
&\quad \cdot \sin(\omega_c t + \theta_{k,l})\} a_k(t - \tau_k - \tau_{k,l}) (-1) \sin(\omega_c t + \theta_{k,l}^{(m)}) a_k(t - \tau_k - \tau_{k,l}^{(m)})] dt \\
&= \frac{1}{2} \sqrt{p_k} \alpha_{k,l} [(-1) \sin(\theta_{k,l} - \theta_{k,l}^{(m)}) \{b_{1,l}^{-1} R_{1,l}(\tau_{k,l}) + b_{1,l}^0 \hat{R}_{1,l}(\tau_{k,l})\} \\
&\quad + \{\cos(\theta_{k,l} - \theta_{k,l}^{(m)}) \{b_{1,Q}^{-1} R_{1,l}(\tau_{k,l}) + b_{1,Q}^0 \hat{R}_{1,l}(\tau_{k,l})\} \\
\end{aligned} \tag{3.41}$$

3.2 การหาสมรรถนะของระบบ

เนื่องจากการวิเคราะห์สมรรถนะของระบบจะอยู่ในรูปของกำลังงานสัญญาณต่อสัญญาณรบกวน ดังนั้นจะต้องคำนวณหาค่ากำลังของสัญญาณต่างๆ ในการหาค่ากำลังสัญญาณจะหาได้จากความสัมพันธ์ดังต่อไปนี้

$$\text{Var}[B] = E[B^2] - E^2[B] \tag{3.42}$$

เนื่องจากเป็นสัญญาณรบกวนเกาส์ ซึ่งจะมีค่ากลางเฉลี่ยเท่ากับศูนย์ ($E^2[B] = 0$) ดังนั้นกำลังงานของสัญญาณจึงเท่ากับ

$$\text{Var}[B] = E[B^2] \quad (3.43)$$

และค่าความแปรปรวนของระบบในส่วนของอินเฟส และควอเดรเอเจอร์ จะมีค่าเท่ากัน $\sigma_x^2 = \sigma_y^2$ [5] เพราะฉะนั้น ในการหาค่ากำลังงานของสัญญาณจึงหาเฉพาะส่วนอินเฟสหรือควอเดรเอเจอร์ และกำหนดให้ผู้ใช้งานรายที่ 1 ($k = 1$) เป็นผู้ใช้งานอ้างอิง

3.2.1 กำลังงานของสัญญาณผู้ใช้งานจริง

กำหนดให้ $f_c T_s \gg 1$ และ $b_{1,I} = b_{1,Q} = 1$ และพจน์สองเท่าของความถี่จะไม่ถูกนำมาคำนวณ [8] ดังนั้นจากสมการ 3.25 และ 3.33 จะได้

$$\begin{aligned} A_{1,I} &= \sum_{m=1}^M \alpha_{1,m} \left(\frac{\sqrt{p_1}}{2} \alpha_{1,I^{(m)}} b_{1,I} T_s \right) \\ &= \frac{\sqrt{p_1}}{2} \sum_{m=1}^M \alpha_{1,I^{(m)}}^2 T_s \end{aligned} \quad (3.44)$$

และนำมายกกำลังสองเพื่อใช้หาค่ากำลังงานสัญญาณต่อสัญญาณรบกวนจะได้

$$A_{1,I}^2 = \frac{P}{4} T_s^2 \left(\sum_{m=1}^M \alpha_{1,I^{(m)}}^2 \right)^2 \quad (3.45)$$

3.2.2 กำลังงานของสัญญาณรบกวนเกาส์ขาวแบบบวก

จากสมการที่ 3.29 นำมาหาค่าความแปรปรวนได้ดังต่อไปนี้

$$\begin{aligned} \xi_I &= \int_0^{T_s} \tilde{n}(t) a_1(t) \cos(\omega_c t) dt \\ E[\xi_I] &= E \left[\int_0^{T_s} \tilde{n}(t) a_1(t) \cos(\omega_c t) dt \right] = \int_0^{T_s} E[\tilde{n}(t)] a_1(t) \cos(\omega_c t) dt = 0 \\ E[\xi_I^2] &= E \left[\int_0^{T_s} \tilde{n}(t) a_1(t) \cos(\omega_c t) dt \int_0^{T_s} \tilde{n}(s) a_1(s) \cos(\omega_c s) ds \right] \\ &= \int_0^{T_s} \int_0^{T_s} E[\tilde{n}(t) \tilde{n}(s)] a_1(t) \cos(\omega_c t) a_1(s) \cos(\omega_c s) dt ds \\ &= \int_0^{T_s} \int_0^{T_s} \frac{N_0}{2} \delta(t-s) a_1(t) \cos(\omega_c t) a_1(s) \cos(\omega_c s) dt ds \\ &= \int_0^{T_s} \frac{N_0}{2} a_1^2(t) \cos^2(\omega_c t) dt \\ &= \int_0^{T_s} \frac{N_0}{2} (1) \left(\frac{1 + \cos 2\omega_c t}{2} \right) dt \\ &= \frac{N_0}{4} T_s \end{aligned} \quad (3.47)$$

3.2.3 กำลังงานของสัญญาณแทรกสอดที่เกิดขึ้นระหว่างผู้ใช้งาน

จากสมการ 3.38 ให้ θ_k คือมุมเฟสที่มีคุณสมบัติเป็นตัวแปรสุ่มที่มีการแจกแจงแบบเอกรูป (uniform) ในช่วง $[0, 2\pi)$ และ $k' > 1$ ดังนั้น

$$\begin{aligned}
 I_{k', \text{Re}} &= \frac{\sqrt{P_{k'}}}{2} \alpha_{1, l^{(m)}} \sum_{k=2}^K \sum_{l=1}^L [\cos(\theta_{k'}) \{b_{k', l}^{-1} R_{k', l}(\tau_{k', l}) + b_{k', l}^0 \hat{R}_{k', l}(\tau_{k', l})\} \\
 &\quad - \sin(\theta_{k'}) \{b_{k', l}^{-1} R_{k', l}(\tau_{k', l}) + b_{k', l}^0 \hat{R}_{k', l}(\tau_{k', l})\}] \\
 E[I_{k', \text{Re}}^2] &= \left(\frac{\sqrt{P}}{2}\right)^2 E[\alpha_{1, l^{(m)}}^2] \cdot \sum_{k=2}^K \sum_{l=1}^L E[(\cos(\theta_{k'}) \{b_{k', l}^{-1} R_{k', l}(\tau_{k', l}) + b_{k', l}^0 \hat{R}_{k', l}(\tau_{k', l})\} \\
 &\quad - \sin(\theta_{k'}) \{b_{k', l}^{-1} R_{k', l}(\tau_{k', l}) + b_{k', l}^0 \hat{R}_{k', l}(\tau_{k', l})\})^2] \\
 &= \frac{P}{4} E[\alpha_{1, l^{(m)}}^2] \cdot \sum_{k=2}^K \sum_{l=1}^L \{E[\cos^2(\theta_{k'})] \cdot E[\{b_{k', l}^{-1} R_{k', l}(\tau_{k', l}) + b_{k', l}^0 \hat{R}_{k', l}(\tau_{k', l})\}]^2 \\
 &\quad - 2E[\cos(\theta_{k'}) \cdot \sin(\theta_{k'})] E[b_{k', l}^{-1} R_{k', l}(\tau_{k', l}) + b_{k', l}^0 \hat{R}_{k', l}(\tau_{k', l})] \\
 &\quad + E[\sin^2(\theta_{k'})] E[\{b_{k', l}^{-1} R_{k', l}(\tau_{k', l}) + b_{k', l}^0 \hat{R}_{k', l}(\tau_{k', l})\}]^2\}
 \end{aligned}$$

เมื่อ $E[(b_{k', l}^{-1} R_{k', l}(\tau_{k', l}) + b_{k', l}^0 \hat{R}_{k', l}(\tau_{k', l}))^2] = \frac{2T^2}{3N}$ จาก [7] และ $E[\alpha_{1, l^{(m)}}^2] = \Omega_{1, l^{(m)}}$ ดังนั้นแทน

ค่าความสัมพันธ์ จะได้

$$\begin{aligned}
 &= \frac{P}{4} \cdot \sum_{k=2}^K \sum_{l=1}^L \left[\frac{1}{2} \left(\frac{2T_s^2}{3N} \right) + \frac{1}{2} \left(\frac{2T_s^2}{3N} \right) \right] \cdot \Omega_{1, l^{(m)}} \\
 &= \frac{PT_s^2}{6N} \sum_{k=2}^K \sum_{l=1}^L \Omega_{1, l^{(m)}}
 \end{aligned}$$

โดยที่ $\Omega_l = \Omega_0 e^{-l\delta}$ และ $q(L, \delta) = \sum_{l=1}^L e^{-l\delta} = \frac{1 - e^{-L\delta}}{1 - e^{-\delta}}$ ดังนั้น

$$\begin{aligned}
 &= \frac{PT_s^2}{6N} \Omega_0 (K-1) \sum_{l=1}^L e^{-l\delta} \\
 &= \frac{PT_s^2}{6N} \Omega_0 (K-1) q(L, \delta)
 \end{aligned} \tag{3.48}$$

โดยที่ Ω_0 คือ ค่าเฉลี่ยกำลังสัญญาณในวิถีที่ 1

δ คือ อัตราการลดทอนของกำลังสัญญาณ

3.2.4 กำลังงานของสัญญาณแทรกสอดระหว่างผู้ใช้งาน

จากสมการ 3.40 เมื่อ $k \neq k'$ มีค่าเท่ากับ 1 นำมาหาค่าความแปรปรวนได้ดังต่อไปนี้

$$\begin{aligned}
I_{k,\text{Re}} &= \frac{1}{2} \sqrt{p_k} \alpha_{k,l} \sum_{\substack{l=1 \\ l \neq l^{(m)}}}^L [\cos(\theta_k) \{b_{1,l}^{-1} R_{1,l}(\tau_{1,l}) + b_{1,l}^0 \hat{R}_{1,l}(\tau_{1,l})\} \\
&\quad - \sin(\theta_k) \{b_{1,l}^{-1} R_{1,l}(\tau_{1,l}) + b_{1,l}^0 \hat{R}_{1,l}(\tau_{1,l})\}] \\
E[I_{k,\text{Re}}^2] &= \frac{P}{4} E[\alpha_{1,l}^2] \sum_{\substack{l=1 \\ l \neq l^{(m)}}}^L \{E[\cos^2(\theta_k)] \cdot E[\{b_{1,l}^{-1} R_{1,l}(\tau_{1,l}) + b_{1,l}^0 \hat{R}_{1,l}(\tau_{1,l})\}^2] \\
&\quad - 2E[\cos(\theta_k) \cdot \sin(\theta_k)] E[b_{1,l}^{-1} R_{1,l}(\tau_{1,l}) + b_{1,l}^0 \hat{R}_{1,l}(\tau_{1,l})] \\
&\quad + E[\sin^2(\theta_k)] E[\{b_{1,l}^{-1} R_{1,l}(\tau_{1,l}) + b_{1,l}^0 \hat{R}_{1,l}(\tau_{1,l})\}^2]\}
\end{aligned}$$

เมื่อ $E[\{b_{1,l}^{-1} R_{1,l}(\tau_{1,l}) + b_{1,l}^0 \hat{R}_{1,l}(\tau_{1,l})\}^2] = \frac{T^2}{N}$ จาก [7], [8] และ $E[\alpha_{1,l}^2] = \Omega_0 e^{-l\delta}$ โดยที่ $l > 1$ ดังนั้นแทนค่าความสัมพัทธ์ จะได้ว่า

$$\begin{aligned}
&= \frac{P}{4} \left[\frac{1}{2} \left(\frac{T_s^2}{N} \right) + \frac{1}{2} \left(\frac{T_s^2}{N} \right) \right] \sum_{\substack{l=2 \\ l \neq l^{(m)}}}^L \Omega_0 e^{-l\delta} \\
&= \frac{PT_s^2}{4N} \Omega_0 \{q(L, \delta) - 1\} \tag{3.49}
\end{aligned}$$

ดังนั้นกำลังงานของสัญญาณรบกวนรวมทั้งหมดของระบบจากสมการ 3.25, 3.47, 3.48 และ 3.49 จึงมีค่าเท่ากับ

$$\begin{aligned}
\sigma_T^2 &= (E[\xi^2] + E[I_k^2] + E[I_k^2]) \sum_{m=1}^M \alpha_{1,m} \\
&= \left(\frac{N_0 T_s}{4} + \frac{E_b T_s}{3N} (K-1) \Omega_0 q(L, \delta) + \frac{E_b T_s}{2N} \Omega_0 \{q(L, \delta) - 1\} \right) \sum_{m=1}^M \alpha_{1,m} \\
&= E_b T_s \Omega_0 \left(\frac{N_0}{4E_b \Omega_0} + \frac{(K-1)q(L, \delta)}{3N} + \frac{q(L, \delta) - 1}{2N} \right) \sum_{m=1}^M \alpha_{1,m} \tag{3.50}
\end{aligned}$$

โดยที่ $P = \frac{E_s}{T_s}$ และ E_s คือ พลังงานสัญญาณต่อสัญลักษณ์ซึ่งมีค่าเป็นสองเท่าของพลังงานสัญญาณบิต ($E_s = 2E_b$) ดังนั้นค่าอัตราส่วนกำลังสัญญาณต่อกำลังสัญญาณรบกวนที่เครื่องรับ [5] แทนค่าสมการ 3.45 และ 3.50 ดังนั้นค่ากำลังงานสัญญาณต่อสัญญาณรบกวนของระบบจึงเท่ากับ

$$SNR = \frac{A^2}{\sigma_T^2} \tag{3.51}$$

$$\begin{aligned}
&= \frac{E_b T_s}{2} \cdot \left(\sum_{m=1}^M \alpha_{1,l^{(m)}}^2 \right)^2 \cdot \frac{1}{E_b T_s \Omega_0} \cdot \left(\frac{N_0}{4E_b \Omega_0} + \frac{(K-1)q(L, \delta)}{3N} + \frac{q(L, \delta)}{2N} \right)^{-1} \left(\sum_{m=1}^M \alpha_{1,m} \right)^{-1} \\
&= \left(\frac{N_0}{2E_b \Omega_0} + \frac{2(K-1)q(L, \delta)}{3N} + \frac{q(L, \delta) - 1}{N} \right)^{-1} \cdot \frac{1}{\Omega_0} \sum_{m=1}^M \alpha_{1,m} \tag{3.52}
\end{aligned}$$

กำหนดให้ S เป็นตัวแปรสุ่ม [1] เท่ากับ $S = \frac{1}{\Omega_0} \sum_{m=1}^M \alpha_{1,m}$ ดังนั้นจัดรูปสมการ 3.52 ใหม่ได้เป็น

$$SNR = Y.S = \left(\frac{N_0}{2E_b\Omega_0} + \frac{2(K-1)q(L,\delta)}{3N} + \frac{q(L,\delta)-1}{N} \right)^{-1} \cdot \frac{1}{\Omega_0} \sum_{m=1}^M \alpha_{1,m} \quad (3.53)$$

3.3 การวิเคราะห์การเกิดอัตราความผิดพลาดบิตของระบบ

ในงานวิจัยนี้การวิเคราะห์อัตราความผิดพลาดบิตของระบบจะแสดงอยู่ในรูปของฟังก์ชันของความน่าจะเป็นในการเกิดความผิดพลาดบิต

3.3.1 ความน่าจะเป็นในการเกิดความผิดพลาดบิตของกำลังสัญญาณ

กำหนดให้สัญญาณเอาท์พุทที่เครื่องรับเรดิโอใช้เทคนิคการรวมอัตราส่วนสูงสุด (MRC) ซึ่งเป็นฟังก์ชันของผลรวมการลดทอนของขนาด [5] ที่มีความสัมพันธ์ดังนี้

$$\rho = \sum_{l=1}^L \alpha_l^2 \quad (3.54)$$

เมื่อ α_l สอดคล้องกับการแจกแจงของแบบจำลองช่องสัญญาณนาคาามิ โดยมีฟังก์ชันความหนาแน่นความน่าจะเป็น (Probability Density Function ; pdf) แสดงได้ตามสมการดังนี้ [9]

$$p(\rho) = \left(\frac{m_T}{\Omega_T} \right)^{m_T} \frac{\rho^{m_T-1}}{\Gamma(m_T)} \exp\left(-\frac{m_T}{\Omega_T} \rho \right) \quad (3.55)$$

โดยที่ m_l คือ การแจกแจงของขนาดในช่องสัญญาณในวิถีที่ l และมีค่าเท่ากับอัตราส่วนของค่าโมเมนต์อันดับสองยกกำลังสองต่อความแปรปรวน

Ω_l คือ โมเมนต์อันดับที่สองมีค่าเท่ากับ $E[\alpha_l^2]$

$\Gamma(m)$ คือ ฟังก์ชันแกมมา

ค่าความน่าจะเป็นของความผิดพลาดขณะใดๆของสัญญาณต่อสัญญาณรบกวนสามารถแสดงได้เป็น [4]

$$P_e(S) = \frac{\Gamma\left(\frac{1}{2}, YS\right)}{2\sqrt{\pi}} \quad (3.56)$$

เนื่องจากพจน์ S เป็นค่าที่ไม่เจาะจงซึ่งมีค่าเท่ากับ $\frac{1}{\Omega_0} \sum_{m=1}^M \alpha_{1,m}$ ดังนั้นจึงต้องหาค่าความน่าจะเป็นของความผิดพลาดบิตเฉลี่ย (Average error probability) ซึ่งสามารถหาได้จาก

$$\bar{P}_e = \int_0^{\infty} P_e(S) p(S) dS \quad (3.57)$$

แทนสมการ 3.55 และ 3.56 ลงในสมการ 3.57 จะได้

$$\begin{aligned} \bar{P}_e &= \int_0^{\infty} \frac{\Gamma\left(\frac{1}{2}, YS\right)}{2\sqrt{\pi}} \left(\frac{m_T}{\Omega_T}\right)^{m_T} \frac{S^{m_T-1}}{\Gamma(m_T)} \exp\left(-\frac{m_T}{\Omega_T} S\right) dS \\ &= \frac{1}{2\sqrt{\pi}} \frac{1}{\Gamma(m_T)} \left(\frac{m_T}{\Omega_T}\right)^{m_T} \int_0^{\infty} \Gamma\left(\frac{1}{2}, YS\right) S^{m_T-1} \exp\left(-\frac{m_T}{\Omega_T} S\right) dS \end{aligned} \quad (3.58)$$

จาก [11] สามารถหาความสัมพันธ์ของฟังก์ชันแกมมาได้

$$\int_0^{\infty} x^{\mu-1} e^{-\beta x} \Gamma(\nu, \alpha x) dx = \frac{\alpha^\nu \Gamma(\mu + \nu)}{\mu(\alpha + \beta)^{\mu + \beta}} {}_2F_1\left(1, \mu + \nu; \mu + 1; \frac{\beta}{\alpha + \beta}\right) \quad (3.59)$$

เมื่อกำหนดให้ $[\text{Re}(\alpha + \beta) > 0, \text{Re}(\mu) > 0, \text{Re}(\mu + \nu) > 0], \nu = \frac{1}{2}, \alpha = Y, \mu = m_T, \beta = \frac{m_T}{\Omega_T}$

ดังนั้นสามารถจัดรูปสมการที่ 3.58 ใหม่ได้เป็น

$$\bar{P}_e = \frac{1}{2\sqrt{\pi}} \frac{1}{\Gamma(m_T)} \left(\frac{m_T}{\Omega_T}\right)^{m_T} \frac{\sqrt{Y} \Gamma\left(m_T + \frac{1}{2}\right)}{m_T \left(Y + \frac{m_T}{\Omega_T}\right)^{m_T + \frac{1}{2}}} {}_2F_1\left(1, m_T + \frac{1}{2}; m_T + 1; \frac{m_T}{Y\Omega_T + m_T}\right) \quad (3.60)$$

เมื่อ $\Omega_T = \Omega_0 q(L, \delta)$ โดยที่ $q(L, \delta) = \sum_{l=0}^{L-1} e^{-l\delta} = \frac{1 - e^{-L\delta}}{1 - e^{-\delta}}$ และ $m_T = \sum_{l=0}^{L-1} m_l = m_l L$ แทนค่า m_T และ Ω_T ลงในสมการที่ 3.60 สุดท้ายค่าความน่าจะเป็นของความผิดพลาดบิตเฉลี่ย จึงมีค่าตามสมการดังนี้

$$\begin{aligned} \bar{P}_e &= \frac{1}{2\sqrt{\pi}} \cdot \frac{1}{\Gamma(m_l L)} \cdot \left(\frac{m_l L}{\Omega_0 q(L, \delta)}\right)^{m_l L} \times \left\{ \frac{\sqrt{Y} \Gamma\left(m_l + \frac{1}{2}\right)}{m_l L \left(Y + \frac{m_l L}{\Omega_0 q(L, \delta)}\right)^{m_l L + \frac{1}{2}}} \right. \\ &\quad \left. \times {}_2F_1\left(1, m_l L + \frac{1}{2}; m_l L + 1; \frac{m_l L}{Y\Omega_0 q(L, \delta) + m_l L}\right) \right\} \end{aligned} \quad (3.61)$$

3.3.2 ความน่าจะเป็นในการเกิดความผิดพลาดสัญลักษณ์ของกำลังสัญญาณ

การโมดูเลตแบบคิวพีเอสเค จะโมดูเลตสัญญาณข้อมูล 2 บิต/สัญลักษณ์ ดังนั้นสามารถแสดงความสัมพันธ์ระหว่างค่าความผิดพลาดระหว่างสัญลักษณ์กับค่าความผิดพลาดบิตได้ดังนี้ [12]

$$\begin{aligned}\bar{P}_s &= 1 - (1 - \bar{P}_e)^2 \\ &= 2\bar{P}_e - \bar{P}_e^2\end{aligned}\quad (3.62)$$

ในการวิจัยนี้จะสมมติให้ค่าสัญญาณกำลังงานต่อสัญญาณรบกวนมีค่าสูงมากๆ เนื่องจากเป็นคุณสมบัติที่ต้องการในระบบการโมดูเลตแบบคิวพีเอสเค [14] ดังนั้นสมการ 3.62 จึงเขียนใหม่ได้ดังนี้

$$\bar{P}_s = 2\bar{P}_e \quad (3.63)$$

$$\begin{aligned}\bar{P}_s &= \frac{1}{\sqrt{\pi}} \cdot \frac{1}{\Gamma(m_l L)} \cdot \left(\frac{m_l L}{\Omega_0 q(L, \delta)} \right)^{m_l L} \times \left\{ \frac{\sqrt{Y} \Gamma(m_l + \frac{1}{2})}{m_l L \left(Y + \frac{m_l L}{\Omega_0 q(L, \delta)} \right)^{m_l L + \frac{1}{2}}} \right. \\ &\quad \left. \times {}_2F_1 \left(1, m_l L + \frac{1}{2}; m_l L + 1; \frac{m_l L}{Y \Omega_0 q(L, \delta) + m_l L} \right) \right\}\end{aligned}\quad (3.64)$$